

秋田大学 正員 及川 洋

### 1 はじめに

泥炭のせん断強さは原位置でのペーンせん断試験によって決定される場合が多い。そして、泥炭のせん断強さはそのペーンせん断強さに等しいものとみなされ、解析、計算される。しかし近年、泥炭地盤上に築造された盛土の数多くの破壊例が検討された結果<sup>1)2)</sup>、そのせん断強さはペーンせん断強さの半量とすべきことが明らかにされつつある<sup>2)3)</sup>。もちろん、そのせん断強さをペーンせん断強さに等しいとして扱うか、その半量として扱うかは極めて重大な問題である。本文は、泥炭の一軸圧縮試験、原位置ペーンせん断試験および静的コーン貫入試験を行ない、3者の関係を検討しながら、この問題について若干の考察を行なつたものである。

### 2 試験方法

秋田平野に散在する泥炭地で、ペーンせん断試験および静的コーン貫入試験を行なうとともに、その近傍から乱さない試料を採取して一軸圧縮試験を行ない、3者の関係を調べた。ペーンせん断試験はギヤ巻取り式のストレーンコントロール型で、ペーン寸法は $5 \times 10 \text{ cm}$ 、回転速度は $\alpha / \text{deg/sec}$ である。試験はボーリング孔を利用して行ない、ロッドに働く周面摩擦はペーン上部約 $50 \text{ cm}$ 程度である。コーンは先端角 $60^\circ$ 、断面積 $20 \text{ cm}^2$ の寸法をもち、ロッドは2重管式である。貫入速度は $1 \text{ cm/sec}$ である。一軸圧縮試験における供試体は、サンプリングチューブから押し出した試料をナイフなどで上下両端面のみを仕上げたもので、直径 $70 \text{ mm}$ 、高さ約 $175 \text{ mm}$ の円筒形である。なお、一軸圧縮強度 $q_u$ は、その応力～ひずみ曲線の初期部分を次式(1)のような双曲線で近似することによって得られる定数 $1/b$ に $0.9$ なる値を乗ずることによって求めた<sup>4)</sup>。

$$\sigma = \frac{\epsilon_1}{a + b\epsilon_1} \quad \dots \quad (1) \quad q_u = 0.9 \frac{1}{b} \quad \dots \quad (2)$$

ここに、 $\sigma$ : 圧縮応力、 $\epsilon_1$ : 軸ひずみ、 $a, b$  は定数である。

### 3 試験結果と考察

#### (A) $\tau_v$ と $q_c$ の関係について

本実験より得られた原位置ペーンせん断強度 $\tau_v$ と静的コーン支持力 $q_c$ との関係を図-1に示した。両者の間にはかなりのばらつきはあるものの、おおよそ

$$\tau_v = \frac{1}{8.3} q_c \approx 0.12 q_c \quad \dots \dots \dots \quad (3)$$

なる関係があるとみてよいであろう。

佐々木ら<sup>2)</sup>は、 $\tau_v$ と $q_c$ との換算係数は泥炭の物理的性質によって大きく変化することを確かめており、その関係として図-2を示している。図によれば、有機物含有量20~80%の泥炭の換算係数はおおよそ0.12であり、著者らの得た結果もそれとほぼ一致している。

#### (B) $q_u$ と $q_c$ の関係について

静的コーン支持力 $q_c$ と一軸圧縮強度 $q_u$ との関係を図-3に

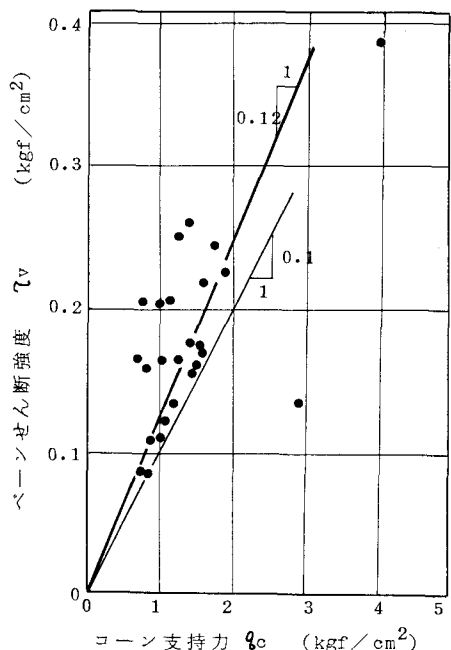


図-1  $\tau_v$  と  $q_c$  の関係

示した。データの数は少ないが、両者の間にも比較的よい相関性のもとには原点を通る直線的比例関係があるとみてよく、おおよそ

$$\frac{q_u}{2} = \frac{1}{21} q_c \quad \dots \dots \dots \quad (4)$$

なる関係をみることができる。河野<sup>1)</sup>、佐々木ら<sup>2)</sup>は、北海道における泥炭地盤上盛土の多数の破壊例からその非排水せん断強さ  $q_u$  を逆算した結果

$$q_u = \frac{1}{20} q_c \quad \dots \dots \dots \quad (5) \quad \text{あるいは} \quad q_u = \frac{1}{21} q_c \quad \dots \dots \dots \quad (6)$$

なる関係が実用上妥当であるとしている。ここで、式(4)、(5)、(6)中の係数がほぼ一致していることが極めて興味深く

$$q_u = \frac{1}{2} q_c \quad \dots \dots \dots \quad (7)$$

なる関係を導くことができる。すなわち、泥炭の非排水せん断強さ  $q_u$  も普通の粘性土と同様、 $q_u = q_u / 2$  なる関係にあることになる。

#### (C) $q_u$ と $\gamma_v$ の関係について

一軸圧縮強度  $q_u$  と原位簡便せん断強度  $\gamma_v$  との関係を図-4に示した。データの数は未だ不充分ではあるが、おおよそ

$$\frac{1}{2} q_u = q_u = 0.45 \gamma_v \quad \dots \dots \dots \quad (8)$$

なる関係をみることができる。すなわち、泥炭の非排水せん断強度はそのペーンせん断強度の約半量とすべきことが示唆される。もちろん(8)式は、式(3)、(4)、(7)の関係からも誘導できる。

#### 参考文献

- 1) 河野：土質工学会北海道支部講習会テキスト，1968年
- 2) 佐々木，能登：土と基礎，Vol.27，No.7，pp.13～18，1976年
- 3) 佐々木，能登：ペーン試験に関するシンポジウム発表論文集，pp.37～41，1980年
- 4) 及川，対馬：土質工学会論文報告集（投稿中）

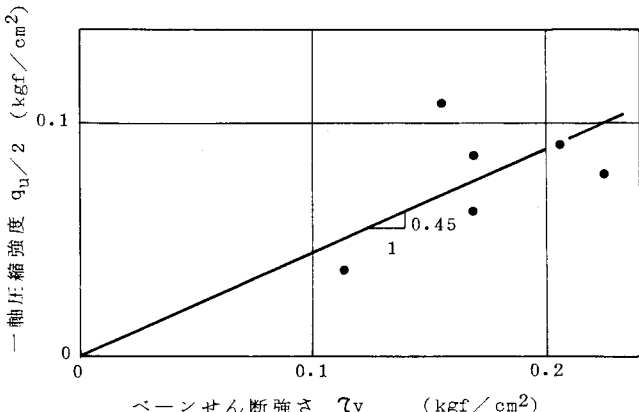


図-4  $q_u/2$  と  $\gamma_v$  の関係

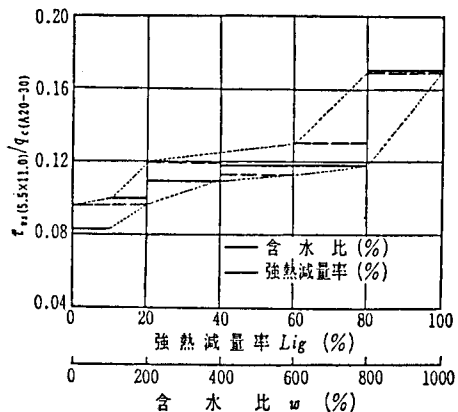


図-2 物性による  $\gamma_v/q_c$  の変化  
(佐々木ら<sup>2)</sup>による)

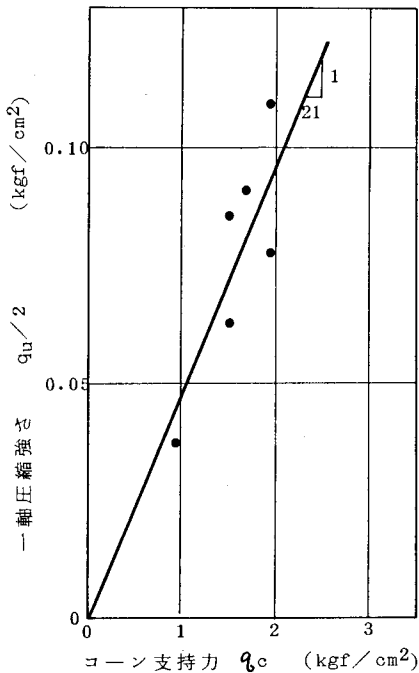


図-3  $q_u/2$  と  $q_c$  の関係